

6/111-72

Д-Ч27
ОБЪЕДИНЕННЫЙ
ИНСТИТУТ
ЯДЕРНЫХ
ИССЛЕДОВАНИЙ

Дубна.

729/2-72



P14 - 6203

А.А. Джураев, В.С. Евсеев, Ю.В. Обухов,
В.С. Роганов

Лаборатория ядерных процессов

ДЕПОЛЯРИЗАЦИЯ ОТРИЦАТЕЛЬНЫХ МЮОНОВ
В ВОДЕ И ВОДНЫХ РАСТВОРАХ ПЕРЕКИСИ
ВОДОРОДА В ПРОДОЛЬНОМ И ПОПЕРЕЧНОМ
МАГНИТНЫХ ПОЛЯХ

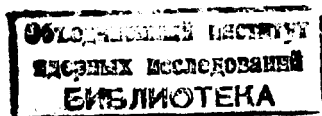
1971

P14 - 6203

А.А.Джураев, В.С.Евсеев, Ю.В.Обухов,
В.С.Роганов

ДЕПОЛИАРИЗАЦИЯ ОТРИЦАТЕЛЬНЫХ МЮОНОВ
В ВОДЕ И ВОДНЫХ РАСТВОРАХ ПЕРЕКИСИ
ВОДОРОДА В ПРОДОЛЬНОМ И ПОПЕРЕЧНОМ
МАГНИТНЫХ ПОЛЯХ

Направлено в ЖЭТФ



Как уже было показано в работах /1,2/, при атомном захвате мюона образуется мезорадикал с порядковым номером на единицу меньшим, чем у атома среды. Деполяризация мюона на K -оболочке такого мезорадикала зависит от химического взаимодействия последнего со средой. Парамагнетизм образовавшегося мезорадикала приводит к тому, что при измерении коэффициента асимметрии a в угловом распределении электронов мю-распада на частоте процессии свободного спина мюона должна наблюдаться нулевая остаточная поляризация.

Отличное от нуля значение коэффициента асимметрии a , измеренное таким способом для многих веществ, свидетельствует о том, что мезорадикал успевает вступить в химическое соединение с диамагнитной электронной оболочкой за время, меньшее или сравнимое с временем оборота суммарного магнитного момента мезорадикала в полеречном магнитном поле.

Известно, что величина a для всех исследованных веществ меньше, чем для проводников /3,4/. Можно предположить, что это обстоятельство связано с тем, что мезорадикал или его парамагнитное соединение доживают до времени наблюдения электронов распада. Измеряя асиммет-

рию электронов распада по счету электронов под определенным углом, т.е. устранив кажущуюся деполяризацию, обусловленную прецессией суммарного магнитного момента в поперечном магнитном поле, можно определить вклад обсуждаемого процесса. Проводя такие измерения в продольном магнитном поле разной напряженности, можно одновременно решить вопрос о возможной роли локальных магнитных полей в исследуемом веществе.

В^{/2/} предлагается модель, на основе которой вычисляется зависимость величины a от времени вступления мезорадикала в химическую реакцию. Сравнение расчетов^{/2/} с экспериментом^{/4/} показало, что экспериментальные данные по температурной зависимости деполяризации в воде хорошо укладываются на два участка теоретической кривой: либо вблизи частоты ν сверхтонкого взаимодействия магнитного момента мюона и электронной оболочки мезоатома, либо вблизи частоты прецессии Ω суммарного магнитного момента мезоатома. Если справедливо второе решение, то должна наблюдаться зависимость величины a от напряженности поперечного магнитного поля.

С целью выяснения всех перечисленных выше вопросов нами были выполнены эксперименты по определению a для различных значений продольного $H_{||}$ и поперечного H_{\perp} магнитных полей в воде и водных растворах перекиси водорода. Эксперименты проводились на чистом мюонном пучке^{/5/}, полученном с помощью мезонного канала синхроциклотрона ОИЯИ. Установка и аппаратура описаны в^{/6/}. Схематически экспериментальная установка показана на рис. 1. Соленоид (6) давал возможность получать продольное (по направлению спина мезонов в пучке) поле до $H_{||} = 2000$ гс. Свинцовый вкладыш (8) не позволял мюонам останавливаться и распадаться в алюминиевом каркасе соленоида и тем самым

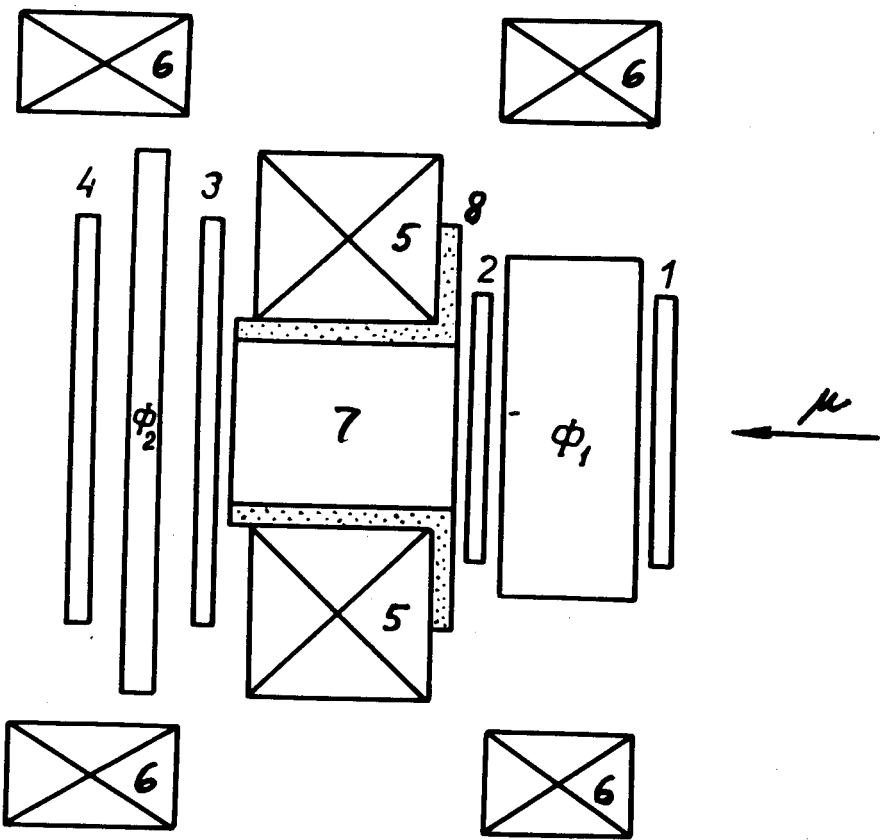


Рис. 1. Схематическое изображение установки (вид сбоку). 1 и 2 - сцинтилляторы счетчиков мюонного телескопа, 3 и 4 - сцинтилляторы счетчиков для регистрации электронов распада, 5 - соленоид продольного поля, 6 - катушки Гельмгольца для получения поперечного поля, 7 - мишень, окруженная свинцовым вкладышем 8, Φ_1 - замедлитель мюонов, Φ_2 - фильтр электронного телескопа.

можно было исключить вторую компоненту во временном распределении электронов распада, близкую по величине к кислородной. Экспоненту, связанную с остановками в свинце, легко можно было исключить, сдвигая начало регистрации электронов на несколько десятых долей микросекунды. Использовалась водяная мишень диаметром 80 мм и толщиной (по пучку) 70 мм.

Эффекта фокусировки электронов распада сильным полем $H_{||}$ в пределах точности эксперимента ($\pm 5\%$) обнаружено не было (опыт ставился на μ^+ -мезонах с графитовой мишенью).

Кольца Гельмгольца (6) позволяли получать поперечное магнитное поле до $H_{\perp} \approx 200$ гс, измеряемое с точностью до долей процента. Продольное поле измерялось с точностью $\pm 5\%$. Большая ошибка связана со значительной неоднородностью поля $H_{||}$ в соленоиде по объему мишени.

Экспериментально получаемые временные распределения электронов обрабатывались методом квадратов с помощью ЭВМ по уравнению.

$$N_i(t_i) = N_0 \{ 1 + a \cos(\omega t_i + \delta) \} \exp \left\{ -\frac{t_i}{\tau} \right\} + C;$$

здесь $N_i(t_i)$ — число отсчетов в i -том канале анализатора, t_i — время, соответствующее середине i -го канала, N_0 — количество электронов распада в нуле времени, τ — время жизни мезона в данном веществе, a — коэффициент асимметрии электронов распада, ω — частота прецессии свободного спина мюона, δ — начальная фаза прецессии, величина которой определяется геометрией эксперимента, C — постоянный во времени фон.

В случае измерений в поперечном поле коэффициент асимметрии определялся как параметр a исследуемого уравнения, а при измерении в продольном поле коэффициент асимметрии a' получался сравнением счета N' в нуле времени в продольном поле со счетом N_0 в нуле времени в поперечном поле по формуле $a' = -\frac{N_0 - N}{N'}$.

Т а б л и ц а 1.

Значения коэффициента асимметрии α электронов распада в продольном ($H_{||}$) и поперечном (H_{\perp}) магнитных полях.

вещество	$T, ^{\circ}\text{K}$	$H_{ }, \text{гс.}$	$H_{\perp}, \text{гс.}$	α, α'
H_2O	300	1265	-	$0,0171 \pm 0,0035$
	"	1600	-	$0,0241 \pm 0,0058$
	"	800	-	$0,0146 \pm 0,0058$
среднее: $0,0180 \pm 0,0026$				
H_2O	300	-	50	$0,0202 \pm 0,0018$
	"	-	200	$0,0207 \pm 0,0025$
H_2O	77	200	-	$0,0110 \pm 0,0019$
	"	-	50	$0,0105 \pm 0,0013$
$\text{H}_2\text{O} + \text{H}_2\text{O}_2 / 15\%/\chi$	300	-	43	$0,0295 \pm 0,0022$
	"	-	190	$0,0268 \pm 0,0017$
$\text{H}_2\text{O} + \text{H}_2\text{O}_2 / 7,5\%/\chi$	300	-	24	$0,0308 \pm 0,0020$
	"	-	197	$0,0290 \pm 0,0020$

$\chi /$ по весу.

Полученные таким образом значения a приведены в таблице 1. Видно, что коэффициент a при комнатной температуре в исследуемом диапазоне $H_{||}$ не меняется и равен коэффициенту a , измеренному в поперечном поле /3/. Это означает, что при комнатной температуре все содержащие мезоатом N парамагнитные соединения вступают в последующие химические реакции до начала наблюдения. Попытка "выморозить" химическую активность радикалов, содержащих мезоатом путем понижения температуры до 77^0K , показала, что даже при этой температуре химические взаимодействия таких радикалов заканчиваются за время, значительно меньшее нескольких единиц на 10^{-7} сек. Это согласуется с общими представлениями о поведении радикалов в конденсированных средах /7,8/. Свободные радикалы, содержащие мезоатомы (μNH , μNH_2 и т.д.), исчезают, по-видимому, в результате относительно медленных вторичных реакций с примесями за время порядка 10^{-8} сек /8/.

Независимость a' от $H_{||}$ показывает, что локальные магнитные поля, которые могли бы быть причиной уменьшения a по сравнению с тем, которое характерно для проводников /4/, в воде не существуют.

Как уже отмечалось выше, измерение величины a в зависимости от напряженности поперечного магнитного поля H_{\perp} дает однозначный ответ на вопрос о том, каково время вступления мезоатома в первую химическую реакцию. Если это время порядка $t \approx \frac{l}{\Omega}$, то должно наблюдаваться уменьшение величины a примерно в два раза при изменении H_{\perp} от 20 до 200 гс; если же зависимости от величины поля не будет, то время вступления мезоатома в химическую реакцию порядка $t \approx \frac{l}{\nu} \approx 10^{-12}$ сек /2/ (при комнатной температуре). В /2/ показано также, что при определенных условиях должна наблюдаться зависимость начальной фазы прецессии δ от H_{\perp} . Однако в условиях настоящего эксперимента задача определения δ с необходимой точностью не могла быть решена.

Результаты измерения a в зависимости от H_{\perp} в указанном диапазоне приведены в таблице 1. Значения a исправлены с учетом разного числа точек на один период прецессии. Обработка полученных для перекиси водорода результатов методом наименьших квадратов по уравнению $a = a_0 + b H_{\perp}$ дает следующие результаты: $a_0 = 2,982 \pm 0,15$ и $b = - (1,28 \pm 1,45) \cdot 10^{-3} \text{ гс}^{-1}$. Таким образом, в пределах погрешностей не наблюдается зависимости a от H_{\perp} . Аналогичный результат получается и для чистой воды (см. таблицу 1).

Отсюда можно сделать вывод, что вступление мезоатома в химические реакции в воде и водном растворе перекиси водорода происходит за время порядка 10^{-12} сек (при комнатной температуре)^{/2/}, т.е. что температурная зависимость остаточной поляризации в воде обусловлена конкуренцией быстрых химических реакций мезоатома с деполяризацией из-за сверхтонкого взаимодействия магнитного момента мюона с магнитным моментом электронной оболочки.

Л и т е р а т у р а

1. В.С.Евсеев. ОИЯИ, Р14-4052, Дубна, 1968.
2. А.А.Джураев, В.С.Евсеев. ОИЯИ, Р14-6023, Дубна, 1971.
3. А.А.Джураев, В.С.Евсеев, Г.Г.Мясищева, Ю.В.Обухов, В.С.Роганов, ОИЯИ, Р1-6020, Дубна, 1971.
4. В.С.Евсеев, В.С.Роганов, В.А.Черногорова, Г.Г.Мясищева, Ю.Б.Обухов, ЯФ, 8, 741 (1968).
5. В.Г.Варламов, Ю.М.Грашин, А.В.Демьянин, Б.А.Долгошенин, В.С.Роганов, ОИЯИ, 1-4084, Дубна, 1968.
6. А.И.Бабаев, М.Я.Балац, Г.Г.Мясищева, Ю.В.Обухов, В.С.Роганов, В.Г.Фирсов, ЖЭТФ, 50, 877 (1966).
7. И.В.Верещинский и А.К.Пикаев "Введение в радиационную химию", АН СССР, М., 1963; А.К.Пикаев "Импульсный радиолиз воды и водных растворов", "Наука", М. (1965).

8. P.J. Dyne a. Kennedy. Canad.Journ. of Chem., 36, N,11,
1518 (1958).

Рукопись поступила в издательский отдел
31 декабря 1971 г.